

04;10
©1994

ВЛИЯНИЕ ТЕРМОЭЛЕКТРОННОЙ ЭМИССИИ НА КОМПЕНСАЦИЮ ОБЪЕМНОГО ЗАРЯДА ШИРОКОГО ПУЧКА ИОНОВ НИЗКОЙ ЭНЕРГИИ

С.В.Дудин, А.В.Зыков

Изучение зарядовой и токовой нейтрализации интенсивных ионных пучков (ИП) стимулируется многообразием их применения в науке и технологии [1,2]. Компенсация объемного заряда ИП может достигаться как в результате автоматического появления электронов в пространстве транспортировки (автокомпенсация), так и при помощи дополнительной их инжекции [1]. Дополнительный источник электронов (чаще всего термокатод) обычно используют, когда значительная часть пучка попадает на диэлектрическую поверхность, и возникает необходимость в токовой нейтрализации. В некоторых случаях накаливаемый катод-нейтрализатор (КН) может быть применен для более полной зарядовой компенсации с целью снижения потенциала плазмы, величина которого характеризует степень компенсации объемного заряда ИП.

В работе [3] были представлены результаты измерений функции распределения электронов по энергии f_e , температуры электронов ее максвелловского ядра T_e и потенциала плазмы φ_{pl} для случая автокомпенсации широкого ИП низкой энергии. Влияние дополнительной эмиссии электронов рассмотрено не было.

Очевидно, что наличие в системе такого интенсивного источника электронов, как термокатод, существенно изменяет баланс частиц и энергии, а следовательно, и параметры ионно-пучковой плазмы (ИПП). В настоящей работе представлены результаты экспериментальных исследований параметров ИПП (φ_{pl} , T_e , f_e) при компенсации объемного заряда ИП посредством термокатода (в сравнении с аналогичными результатами без КН).

Исследования проводились на установке, оснащенной многоканальным источником ионов (ИИ) типа "Радикал-М" [4]. Следует отметить, что данный тип ИИ не очень удобен для исследовательских целей, поскольку не позволяет независимо регулировать основные параметры: плотность тока, энергию пучка, газопоток. Кроме того, ИП, создаваемый им, имеет размытый энергетический спектр. В то же время

Этот тип ИИ широко используется в промышленности, что и обусловило выбор источника ионов.

Диаметр пучка 50, длина 200 мм, средняя энергия ионов 0.3–1 кэВ. Пучок распространялся в камере с заземленными металлическими стенками. Металлическая мишень и катод ИИ также были заземлены. Все потенциалы измерялись относительно стенки камеры. Давление рабочего газа (воздух) в камере изменялось в диапазоне 10^{-5} – 10^{-3} Тор. Катод-нейтрализатор прямого накала представлял собой петлю из вольфрамовой проволоки диаметром 0.4 и длиной 20 мм и был расположен на границе ИП.

Для измерения φ_{pl} , T_e и f_e использовалась методика одиночного цилиндрического зонда, дополненная модуляционной методикой двукратного дифференцирования зондового тока I_p по потенциальному зонду φ_p [5]. φ_{pl} определялся по максимуму второй производной, а T_e — по углу наклона линейного участка $d^2 I_p / d\varphi_p^2$ в полулогарифмическом масштабе (см. рис. 2).

Экспериментально установлено, что во всем рассматриваемом диапазоне параметров результаты измерения φ_{pl} и T_e не зависят от пространственных координат, за исключением тонких пристеночных слоев, что дает возможность не указывать точку измерения. Таким образом, пространственное распределение потенциала плазмы имеет вид потенциальной ямы для электронов с плоским дном.

На рис. 1 представлены характерные зависимости φ_{pl} , T_e и тока эмиссии КН I_e от параметров системы. Для сравнения там же приведены аналогичные зависимости $\tilde{\varphi}_{pl}$ и \tilde{T}_e , полученные при отсутствии накала КН.

Появление эмиссии с КН при увеличении тока накала I_n обычно приводит к снижению φ_{pl} и росту T_e (рис. 1, а). Установившиеся значения этих величин зависят от параметров ИП, давления газа в пространстве транспортировки и потенциала КН.

Обращает на себя внимание зависимость T_e и φ_{pl} (рис. 1, б) от тока соленоида ИИ I_s (т.е. от напряженности магнитного поля H в выходном канале ИИ). T_e и φ_{pl} монотонно растут с ростом H , тогда как ток пучка I_b имеет максимум (I_e коррелирует с I_b), т.е. T_e и φ_{pl} могут принимать различные значения при одинаковых I_b . Это может быть связано с зависимостью энергетического спектра и фокусировки ИП от H . Необходимо отметить, что напряженность рассеянного магнитного поля, создаваемого ИИ в месте расположения КН, не превышала 5 Э, т.е. влиянием магнитного поля непосредственно на электроны можно, по-видимому, пренебречь.

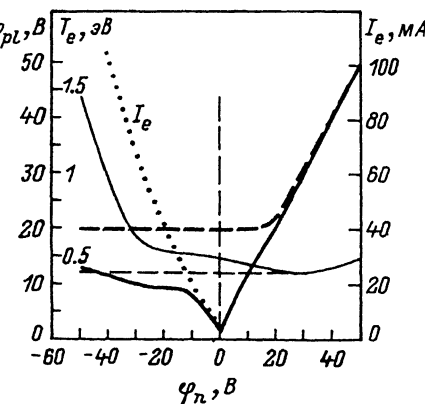
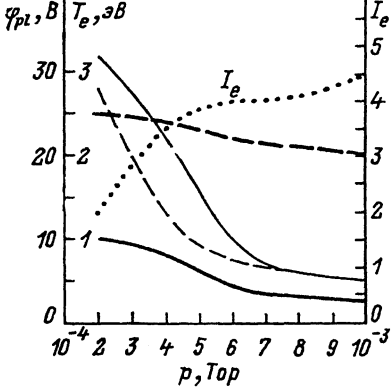
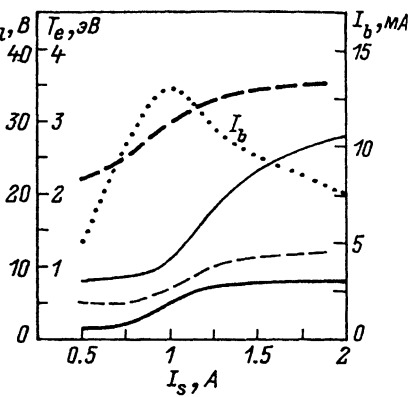
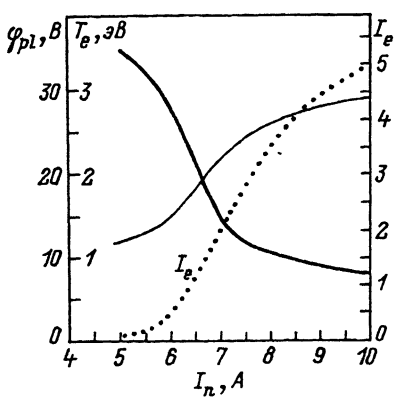
*a**b**c**d*

Рис. 1. Зависимость T_e и φ_{pl} от параметров системы при использовании КН. Утолщенные линии — φ_{pl} , тонкие — T_e . Штриховые — аналогичные зависимости при отсутствии накала КН. Для всех графиков анодное напряжение ИИ $U_a = 1.5$ кВ;

a — $p = 4 \cdot 10^{-4}$ Тор, $I_s = 2$ А, $I_b = 7.5$ мА; *б* — $p = 4 \cdot 10^{-4}$ Тор, $I_s = 9$ А; *в* — $I_s = 9$ А, $I_b = 2$ А, $I_b = 4$ мА; *г* — $p = 4 \cdot 10^{-4}$ Тор, $I_s = 0.5$ А, $I_b = 9$ мА.

С ростом давления в пространстве транспортировки ИП наблюдается улучшение нейтрализации (рис. 1,*с*), связанное с увеличением частоты электрон-атомных соударений, приводящих к появлению нейтрализующих электронов [3]. Падение T_e с ростом давления подтверждает сделанное в [3] предположение об электрон-атомных столкновениях как об

основном канале потери энергии электронным газом. Регулировка давления при снятии зависимостей (рис. 1,в) производилась изменением скорости откачки. Ток пучка посредством изменения газонапуска поддерживался постоянным.

Роль термоэлектронов в формировании параметров ИПП зависит от соотношения между потенциалами нейтрализатора φ_n , плазмы φ_{pl} и стенок камеры. Анализ зависимостей, представленных на рис. 1,г, показывает, что при отрицательных φ_n даже небольшое превышение потенциала КН над "стенками" потенциальной ямы приводит к появлению "сквозного" тока термоэлектронов, ускоренных разностью потенциалов между КН и плазмой и попадающих на стеки камеры.

Как видно из рисунка, увеличение тока эмиссии не только не снижает φ_{pl} , но и приводит к его быстрому росту, т.е. к ухудшению нейтрализации. Этот факт свидетельствует о том, что термоэлектроны непосредственно не могут скомпенсировать объемный заряд ионов пучка (как и γ -электроны при автокомпенсации [3,6]), а компенсация производится низкоэнергетичными электронами ИПП, запертymi в потенциальной яме. Термоэлектроны могут попадать в число запертых, теряя энергию в неупругих столкновениях с атомами газа, а также при кулоновских столкновениях с плазменными электронами. Роль термоэлектронов при этом аналогична роли γ -электронов [3].

Дальнейший рост отрицательной величины φ_n приводит к росту электронной температуры и, как следствие, к росту φ_{pl} , компенсирующему рост скорости ухода электронов через высокоэнергетичный хвост f_e .

Небольшой положительный потенциал КН не позволяет термоэлектронам покидать пространство транспортировки ИП, они могут накапливаться в потенциальной яме, улучшая нейтрализацию (см. также [7]). Минимальное значение φ_{pl} в описываемой системе достигается при $\varphi_n = 0-2$ В.

При увеличении φ_n до равновесного значения $\tilde{\varphi}_{pl}$ эмиссия прекращается, КН становится эффективным стоком для электронов, что приводит к росту φ_{pl} . В этом случае $\varphi_{pl} \approx \varphi_n$, и отключение накала не приводит к изменению параметров изучаемой системы. Вынужденный рост потенциала плазмы обычно сопровождается повышением T_e .

Энергоанализ электронной компоненты ИПП показал, что при использовании ТК f_e , кроме низкоэнергетической максвелловской части, содержит группу ускоренных термоэлектронов (рис. 2), при этом основная часть электронной плотности сосредоточена в максвелловской группе. Для сравнения там же показан вид f_e при отсутствии на-

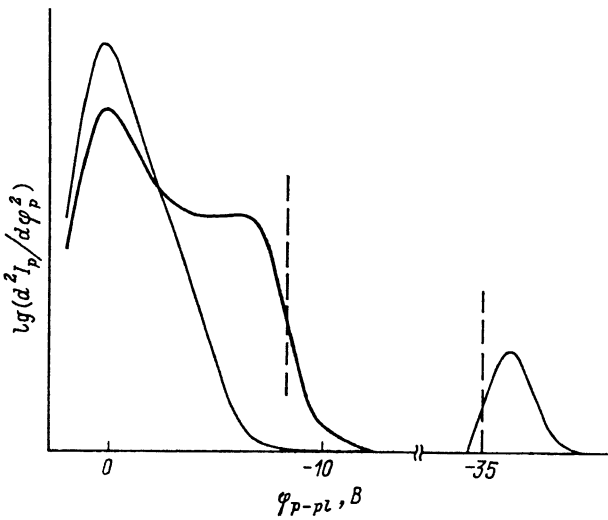


Рис. 2. Типичный вид функции распределения электронов ИПП по энергии при наличии накала заземленного КН (утолщенная линия) и при его отсутствии (тонкая линия). Вертикальные штриховые линии границ удержания электронов (потенциал стенки катера) в этих случаях.

$p = 4 \cdot 10^{-4}$ Torr, $I_s = 2$ A, $U_a = 1.5$ кВ.

кала КН (наряду с максвелловским ядром видна группа γ -электронов [3]).

Таким образом, полученные результаты позволяют установить, что при использовании КН, как и в случае автокомпенсации, компенсацию объемного заряда ИП обеспечивают низкоэнергетичные плазменные электроны, запертые в потенциальной яме. Термоэлектроны (так же, как и γ -электроны) ответственны за поставку частиц и энергии в максвелловское ядро электронного газа. По нашему мнению, эти результаты могут быть полезны при разработке ионно-плазменного технологического оборудования.

Список литературы

- [1] Габович М.Д. // УФН. 1977. Т. 121. В. 2. С. 259–284.
- [2] Габович М.Д., Плещивцев Н.В., Семашко Н.Н. Пучки ионов и атомов для управляемого термоядерного синтеза и технологических целей. М., 1986. 364 с.
- [3] Дудин С.В., Зыков А.В., Фареник В.И. // Письма в ЖТФ. 1991. Т. 17. В. 6. С. 22–26.
- [4] Маишев Ю.П. // Электронная промышленность. 1990. В. 5. С. 15.

- [5] Иванов Ю.А., Лебедев Ю.А., Полак Л.С. Методы контактной диагностики в неравновесной плазмохимии. М., 1981. 142 с.
- [6] Зыков А.В., Марущенко Н.Б., Фареник В.И. // Письма в ЖТФ. 1989. Т. 15. В. 9. С. 9–13.
- [7] Зыков А.В. и др. А.С. СССР № 1580852.

Харьковский университет;
Научный физико-технологический центр
Харьков, Украина

Поступило в Редакцию
18 марта 1994 г.
